

# Détection de Contours

## Master Système Embarqué

Aissa. Belmeguenai

Laboratoire de Recherche en Electronique de Skikda  
Université 20 Août 1955- Skikda  
BP 26 Route d'El-hadaeik Skikda, Algeria

2020

- 1 Introduction
- 2 Modèle de contour
- 3 Des dérivées aux points contours
- 4 Approches de détection de contour
  - Approches par dérivées premières
  - Approches par dérivée secondes
- 5 Conclusion

# 1 Introduction

La détection de contours est une technique de réduction d'information dans les images, qui consiste à transformer l'image en un ensemble de courbes, pas forcément fermées, formant les frontières significatives de l'image.

## Définitions

- Les contours de l'image représentent:
- Discontinuités de l'image
- Frontières entre deux régions homogènes adjacentes ayant des intensités lumineuses différentes.
- Frontière qui sépare deux objets (ou 1 objet du fond) dans une image.
- Les contours forment des segments, courbes, motifs
- Le contour permet la réduction de l'information:
  - Information de toute l'image résume dans les contours des différent objets,
  - Contour : partie la plus informative d'une image,

# 1. Introduction

## Applications:

- Reconnaissance d'objets, de formes, classifications de scènes;
- Mise en correspondance: calibration, reconstruction 3D;
- Compression;
- Très utile pour toute application de traitement d'image.

## 2 Modèle de contour

- Il existe plusieurs modèles de contours, le modèle le plus courant: Marche d'escalier;
- Exemple de différents modèles de contours: marche d'escalier, rampe et toit:

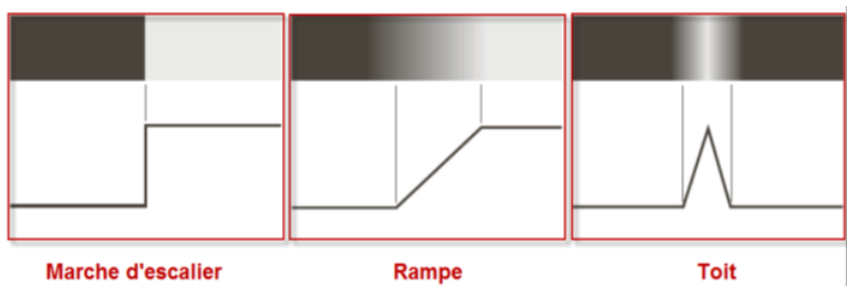


Figure : *Modèles des contours*

## 2 Modèle de contour

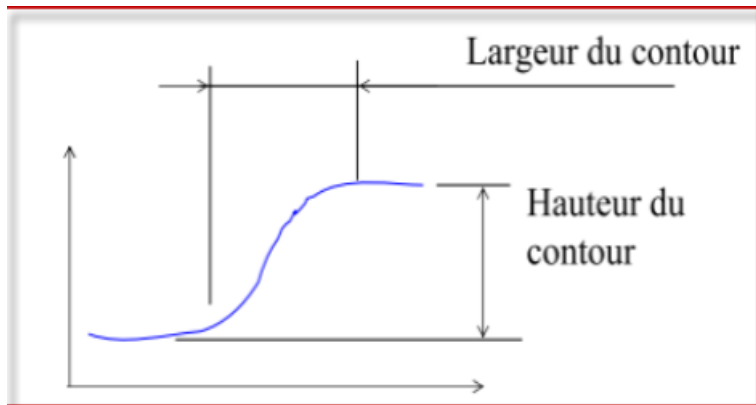


Figure : *Largeur et Hauteur du contour*

### 3. Des dérivées aux points contours

#### Dérivées première et seconde:

- Pour détecter les contours de l'image on utilise:
  - Dérivée première : **maxima locaux**
  - Dérivée seconde : passages par **zéro**

## 3. Des dérivées aux points contours

### Cas 1-D

- Dérivée première : Le contour correspond donc à **un maximum** de la dérivée première,  $\frac{\partial f}{\partial x}$  est maximal.
- Dérivée seconde : Le contour correspond donc à un passages par **zéro** de la dérivée seconde,  $\frac{\partial^2 f}{\partial x^2} = 0$ .



### 3. Des dérivées aux points contours

#### Cas 1-D

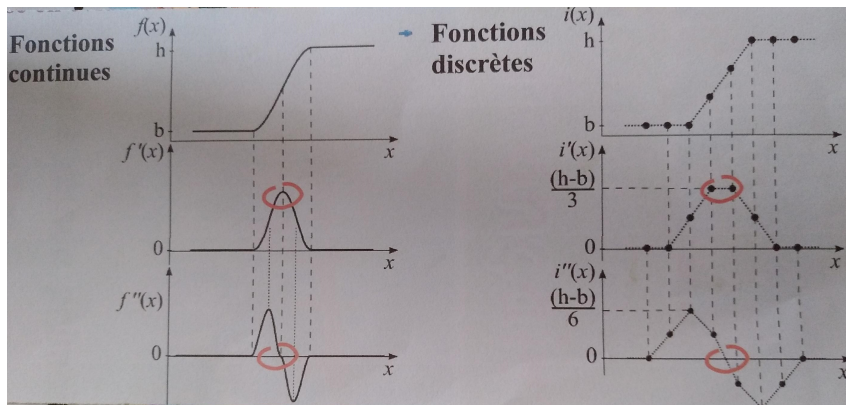


Figure : Dérivée première et dérivée seconde 1-D

### 3. Des dérivées aux points contours

#### Cas 2-D

- Dérivée première : Les contours correspondent donc aux maximas du gradient dans la direction du gradient,  $\vec{\nabla} f(x, y) = \left( \frac{\partial f(x, y)}{\partial x}, \frac{\partial f(x, y)}{\partial y} \right)$
- Dérivée seconde : Les contours correspondent donc aux ou les passages par zros du Laplacien,  $\Delta f = \frac{\partial^2 f}{\partial x^2} + \frac{\partial^2 f}{\partial y^2}$ .

### 3. Des dérivées aux points contours

#### Cas 2-D

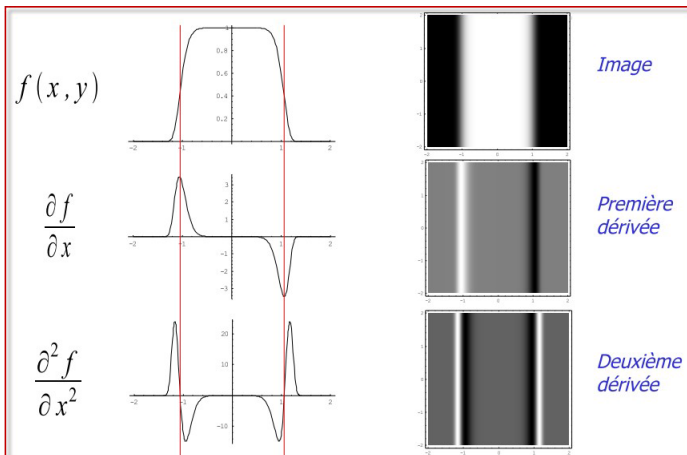


Figure : Dérivée première et dérivée seconde 2-D

## 4. Approches de détection de contour

**Deux approches sont les plus utilisées:**

- Approches par dérivée premières: Approximations du Gradient;
- Approches par dérivée secondes: Approximations du Laplacien.

- 1 Introduction
- 2 Modèle de contour
- 3 Des dérivées aux points contours
- 4 Approches de détection de contour**
  - Approches par dérivées premières
  - Approches par dérivée secondes
- 5 Conclusion

## 4.1 Approches par dérivées premières: Approximations du gradient

### Principe de détection de contour par le gradient:

Soit  $f(x, y)$  une image.

- 1 Calcule les dérivées partial:

$$\frac{\partial f(x,y)}{\partial x} \text{ et } \frac{\partial f(x,y)}{\partial y}$$

- 2 Calcul de la norme du gradient:

$$\|\vec{\nabla} f(x, y)\| = \sqrt{\left(\frac{\partial f(x,y)}{\partial x}\right)^2 + \left(\frac{\partial f(x,y)}{\partial y}\right)^2}$$

- 3 Seuillage: extrait les points contours

- Les points contours :  $f_{contour} = \begin{cases} 1 & \text{si } \|\vec{\nabla} f\| \geq \text{seuil} \\ 0 & \text{sinon} \end{cases}$

# Principe de gradient

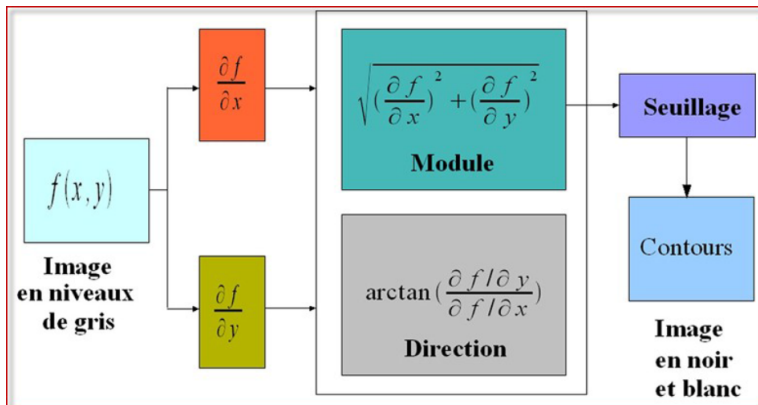


Figure : Principe du gradient

# Gradient

Dans le cas 2D des images, le vecteur gradient est défini au point de coordonnées  $(x, y)$  par:

$$\vec{\nabla} f(x, y) = \left( \frac{\partial f(x, y)}{\partial x}, \frac{\partial f(x, y)}{\partial y} \right) \quad (1)$$

Où  $f(x, y)$  représente l'image.

- Le gradient peut être représenté en coordonnées polaires par un module et une direction dans l'image.
- Le module du gradient mesure la force du contour est donné par:

$$\|\vec{\nabla} f(x, y)\| = \sqrt{\left( \frac{\partial f(x, y)}{\partial x} \right)^2 + \left( \frac{\partial f(x, y)}{\partial y} \right)^2} \quad (2)$$

- La direction du gradient est:

$$\theta(x, y) = \arctan \left( \frac{\partial f(x, y) / \partial y}{\partial f(x, y) / \partial x} \right) \quad (3)$$



# Gradient

- Le gradient est un vecteur perpendiculaire au Contour
- Un contour apparait comme une ligne où sont localises les très fortes variations de  $f(x, y)$ .
- Un contour est alors défini comme le lieu des maximas de la dérivée première dans la direction du gradient.

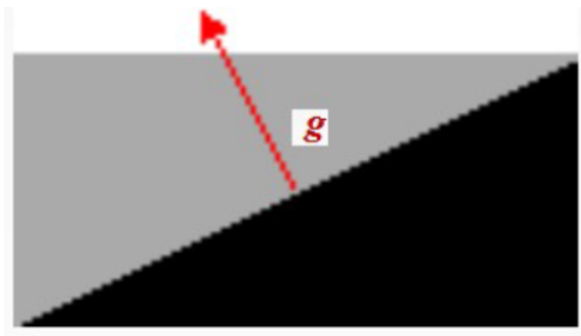


Figure : *Gradient*

# Approximation discrète du Gradient

- Pour estimer le gradient, on choisit deux directions privilégiées orthogonales (les lignes et les colonnes) sur lesquelles on le projette
- Le module du gradient en un point  $(x, y)$  est donné par:

$$G(x, y) = \|\vec{\nabla} f(x, y)\| = \sqrt{(G_x(x, y))^2 + (G_y(x, y))^2} \quad (4)$$

- La direction du gradient en un point  $(x, y)$  est donnée par :

$$\theta(x, y) = \arctan\left(\frac{G_y(x, y)}{G_x(x, y)}\right) \quad (5)$$

## Cas 1:

- $\frac{\partial f(x,y)}{\partial x} = G_x(x,y) \approx f(x,y) - f(x-1,y) = f(x,y) * h_x$

Ce qui correspond à une convolution avec le masque:  $h_x = \begin{bmatrix} 1 & -1 \end{bmatrix}$

- $\frac{\partial f(x,y)}{\partial y} = G_y(x,y) \approx f(x,y) - f(x,y-1) = f(x,y) * h_y$

Ce qui correspond à une convolution avec le masque:  $h_y = \begin{bmatrix} 1 \\ -1 \end{bmatrix}$

- La norme du gradient en un point  $(x,y)$  est donnée par:

$$G(x,y) = \sqrt{(f(x,y) - f(x,y-1))^2 + (f(x,y) - f(x-1,y))^2}$$

## Cas 2:

- $\frac{\partial f(x,y)}{\partial x} = G_x(x,y) \approx f(x+1,y) - f(x-1,y) = f(x,y) * h_x$

Ce qui correspond à une convolution avec le masque:

$$h_x = \begin{bmatrix} 1 & 0 & -1 \end{bmatrix}$$

- $\frac{\partial f(x,y)}{\partial y} = G_y(x,y) \approx f(x,y+1) - f(x,y-1) = f(x,y) * h_y$

Ce qui correspond à une convolution avec le masque:  $h_y = \begin{bmatrix} 1 \\ 0 \\ -1 \end{bmatrix}$

- La norme du gradient en un point  $(x,y)$  est donnée par:

$$G(x,y) =$$

$$\sqrt{(f(x,y+1) - f(x,y-1))^2 + (f(x+1,y) - f(x-1,y))^2}$$

# Masque gradient

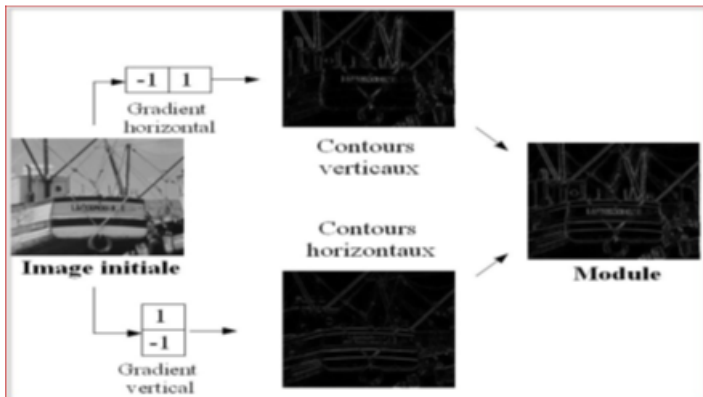


Figure : Exemple d'application des masques gradient

- Un filtre est composé de deux masques:
  - Le masque  $h_x$  Détecte les contours verticaux
  - Le masque  $h_y$  Détecte les contours horizontaux
- Dans le domaine spatial: convolution linéaire de l'image avec les filtres
  - $G_x = f * h_x$ : Image des contours verticaux, ou gradient vertical
  - $G_y = f * h_y$ : Image des contours horizontaux, ou gradient horizontal
- Module du gradient:
$$G(x, y) = \sqrt{(G_y)^2 + (G_x)^2}$$
- Filtres courants : Roberts, Prewitt, Sobel.

- Opérateur de Roberts :  $h_x = \begin{pmatrix} 0 & 1 \\ -1 & 0 \end{pmatrix}$  et  $h_y = \begin{pmatrix} -1 & 0 \\ 0 & 1 \end{pmatrix}$

- Opérateurs de Prewitt:

$$h_x = \begin{pmatrix} 1 & 0 & -1 \\ 1 & 0 & -1 \\ 1 & 0 & -1 \end{pmatrix} \text{ et } h_y = \begin{pmatrix} -1 & -1 & -1 \\ 0 & 0 & 0 \\ 1 & 1 & 1 \end{pmatrix}$$

- Opérateurs de Sobel:

$$h_x = \begin{pmatrix} 1 & 0 & -1 \\ 2 & 0 & -2 \\ 1 & 0 & -1 \end{pmatrix} \text{ et } h_y = \begin{pmatrix} -1 & -2 & -1 \\ 0 & 0 & 0 \\ 1 & 2 & 1 \end{pmatrix}$$

# Opérateurs du premier ordre

- Ces masques opèrent tout d'abord un lissage de l'image, suivi d'une opération de dérivation,
- Ils sont dits séparables:

$$h_x = \begin{pmatrix} 1 & 0 & -1 \\ 1 & 0 & -1 \\ 1 & 0 & -1 \end{pmatrix} = \begin{pmatrix} 1 \\ 1 \\ 1 \end{pmatrix} ( 1 \ 0 \ -1 )$$

$$\text{et } h_y = \begin{pmatrix} -1 & -1 & -1 \\ 0 & 0 & 0 \\ 1 & 1 & 1 \end{pmatrix} = ( 1 \ 0 \ -1 ) \begin{pmatrix} 1 \\ 1 \\ 1 \end{pmatrix}.$$

- On combine à la fois un filtrage et une dérivée: filtrage passe bas (intégrateur) + filtrage passe haut (différentiateur).
- Moins sensible au bruit que le calcul direct des dérivées.
- Prewitt  $\Leftrightarrow$  filtre moyenneur + Dérivées.
- Sobel  $\Leftrightarrow$  filtre gaussien + Dérivées.



# Exemple d'application des opérateurs du premier ordre

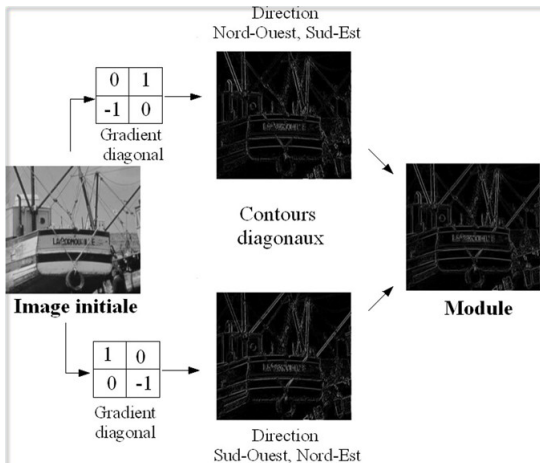


Figure : *Détection de contour par le masque de Roberts*

# Exemple d'application des opérateurs du premier ordre

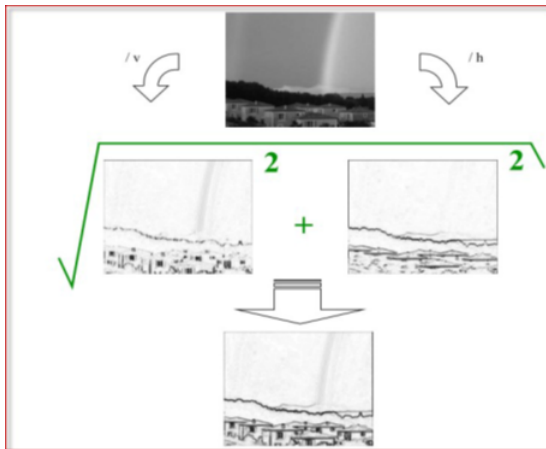


Figure : *Détection de contour par le masque de Sobel*

# Exemple d'application des opérateurs du premier ordre

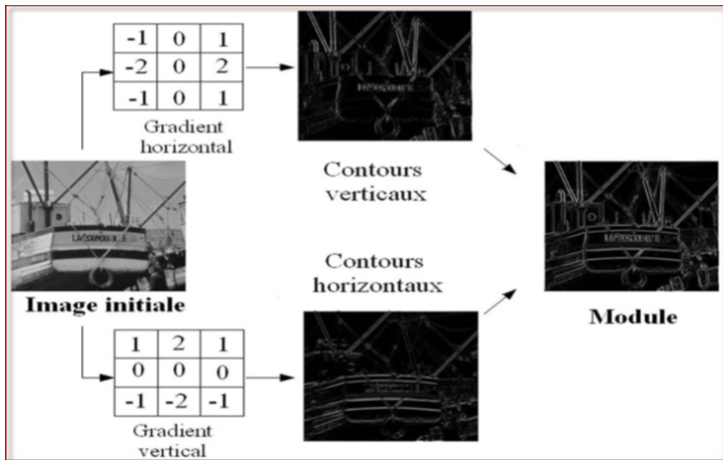


Figure : Détection de contour par le masque de Sobel

# Exemple d'application des opérateurs du premier ordre

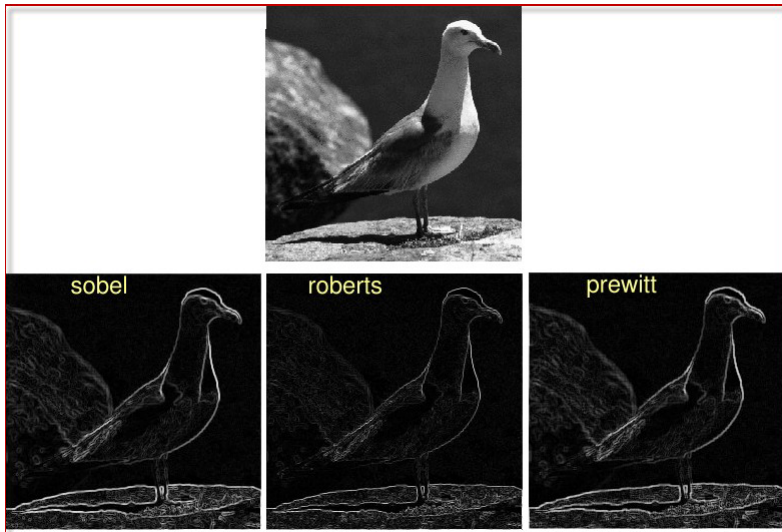


Figure : Détection de contour par Sobel, Roberts, Prewitt

- Le seuillage est le traitement permettant de sélectionner les contours les plus significatifs dans l'image représentant le module du gradient.
- Une fois la norme du gradient  $G(i, j)$  calculée en chaque point de l'image, il faut seuiller cette norme pour décider si un pixel fait partie ou non d'un contour.
- Cette opération nécessite le réglage d'un paramètre: le **seuil S**.

$$G(i, j)_{contour} = \begin{cases} 1 & \text{si } G(i, j) \geq S \\ 0 & \text{sinon} \end{cases}$$

(6)

Tout le problème réside alors dans le choix du seuil :

- Seuil bas (faible lissage): contours pertinents détectés mais beaucoup de bruit.
  - Sensibilité au bruit
  - Bonne détection
- seuil haut (fort lissage) : nombreux contours manqués mais absence de bruit
  - Robustesse au bruit
  - Mauvaise détection
- Il est difficile de choisir un seuil optimal pour toute l'image, à cause du bruit, variation de luminance, du contraste.

# Seuillage par Hystérésis :

L'image contour est une image binaire des pixels contours (0=non contour, 1=contour).

- On introduit maintenant 2 seuils : un seuil haut  $S_h$  et un seuil bas  $S_b$ .
- Soit  $C$  l'image contour de même taille que  $G$  l'image de la norme du gradient, pour chaque pixel  $(i, j)$ , alors:
- Si la norme du gradient  $G(i, j) > S_h$ ,  $C(i, j) = 1$  le pixel  $(i, j)$  est contour.
- Si la norme  $G(i, j) < S_b$ ,  $C(i, j) = 0$  le pixel  $(i, j)$  n'est pas contour.
- Si  $S_b < G(i, j) < S_h$ ,  $C(i, j) = 1$  s'il est connecté à un autre pixel déjà contour.

# Exemple de seuillage

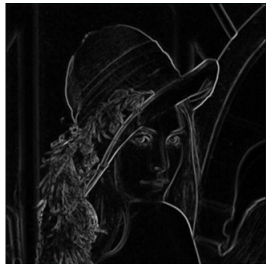


Image du gradient



Seuillage fixe à 50



Seuillage fixe à 80

*Figure : Détection de contour par le seuillage de l'image gradient.*



# Exemple de seuillage



Figure : Détection de contour par le masque de Sobel avec un seuillage.

- 1 Introduction
- 2 Modèle de contour
- 3 Des dérivées aux points contours
- 4 Approches de détection de contour**
  - Approches par dérivées premières
  - Approches par dérivée secondes**
- 5 Conclusion

## 4.2 Approximations du Laplacien

Une autre approche pour trouver les contours de l'image est d'utiliser la seconde dérivée de l'image. Pour cela, on utilise le Laplacien comme opérateur.

- Aux points contours, la dérivée seconde est nulle.
- Plus précisément, les points contours sont caractérisés par un **passage par zéro** zero crossing de la dérivée seconde.

# L'opérateur de Laplacien

L'opérateur de Laplacien, défini par :

$$\Delta f = \frac{\partial^2 f}{\partial x^2} + \frac{\partial^2 f}{\partial y^2}$$

**Remarque** : le Laplacien est un opérateur scalaire et isotrope (invariant par rotation).

## Utilisation du Laplacien pour la détection des points contours

- Les passages par zéro de la dérivée seconde directionnelle  $f''$  coïncident généralement avec ceux du Laplacien  $\Delta f = 0$
- En particulier:  $(x_0, y_0)$  est point contour si

$$\Delta f(x_0, y_0) = \frac{\partial^2 f(x_0, y_0)}{\partial x^2} + \frac{\partial^2 f(x_0, y_0)}{\partial y^2} = 0 \quad (7)$$

- Un passage par zéro du Laplacien correspond donc à une dérivée seconde directionnelle nulle dans la direction du gradient.

## Dérivées secondes discrètes

- $\Delta f(x, y) = \frac{\partial^2 f(x, y)}{\partial x^2} + \frac{\partial^2 f(x, y)}{\partial y^2}$
- $= \frac{\partial}{\partial x} [f(x + 1, y) - f(x, y)] + \frac{\partial}{\partial y} [f(x, y + 1) - f(x, y)]$
- $\frac{\partial}{\partial x} [f(x + 1, y) - f(x, y)] =$   
 $[f(x + 1, y) - f(x, y)] - [f(x, y) - f(x - 1, y)]$
- $= f(x + 1, y) - 2f(x, y) + f(x - 1, y)$
- Masque associé à la dérivée seconde selon x :  $\begin{bmatrix} 1 & -2 & 1 \end{bmatrix}$ .

- De même
- $\frac{\partial}{\partial y} [f(x, y + 1) - f(x, y)] =$   
 $[f(x, y + 1) - f(x, y)] - [f(x, y) - f(x, y - 1)]$
- $= f(x, y + 1) - 2f(x, y) + f(x, y - 1)$
- Masque associé à la dérivée seconde selon  $y$  :  $\begin{bmatrix} 1 \\ -2 \\ 1 \end{bmatrix}$ .

# L'opérateur de Laplacien

- D'où l'approximation discrète du Laplacien
- $\Delta f(x, y) = f(x+1, y) + f(x-1, y) - 4f(x, y) + f(x, y+1) + f(x, y-1)$
- Qui se calcule donc grâce au masque de convolution : 
$$\begin{bmatrix} 0 & 1 & 0 \\ 1 & -4 & 1 \\ 0 & 1 & 0 \end{bmatrix}.$$



# L'opérateur de Laplacien

- Autres approximations possibles du Laplacien :

- $$\begin{bmatrix} 1 & 1 & 1 \\ 1 & -8 & 1 \\ 1 & 1 & 1 \end{bmatrix}.$$

- $$\begin{bmatrix} 1 & 2 & 1 \\ 1 & -12 & 1 \\ 1 & 2 & 1 \end{bmatrix}.$$

- $$\begin{bmatrix} 1 & 4 & 1 \\ 1 & -20 & 1 \\ 1 & 4 & 1 \end{bmatrix}.$$

## Détection des passages par zéro du laplacien

En Pratique:

- Prendre une fenêtre centrée  $3 \times 3$  sur le pixel  $(n, m)$ , et calculer  $\max(\Delta f)$  et  $\min(\Delta f)$  dans ce voisinage.
- Le passage par 0 sera détecté si  $\max(\Delta f) > 0$ ,  $\min(\Delta f) < 0$  et  $\max(\Delta f) - \min(\Delta f) > S$ . Où  $\Delta f$  est Laplacien de l'image  $f$ .

# Passages par zéro

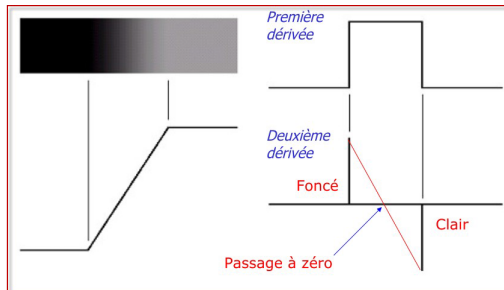


Figure : Passages par zéro

# Exemples d'images

Image originale



Laplacien

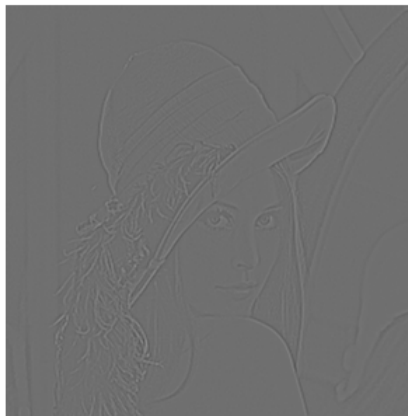


Figure : *Exemple d'application de le Laplacien*

# Exemples de détection de contour d'images par le Laplacien avec seuillage

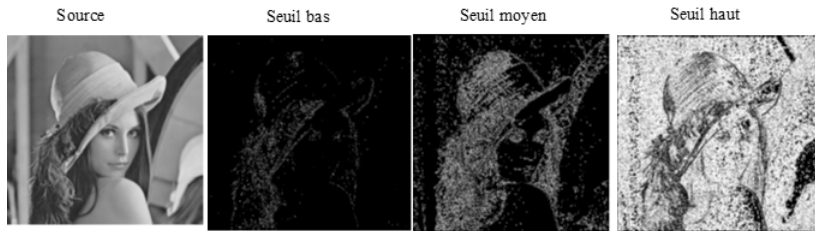


Figure : Exemple d'application de le Laplacien avec seuillage

- Du fait du double dérivation, le Laplacien est très sensible au bruit.
- On préfère utiliser le Laplacien à partir de dérivées de gaussiennes
- Avant d'utiliser le Laplacien pour détecter les points contours.
- Possibilité de réaliser ces deux opérations en une seule :

- Gaussien définie par:

$$g(x, y) = \frac{1}{2\pi\sigma^2} \exp\left(-\frac{x^2+y^2}{2\sigma^2}\right)$$

- $\Delta [(g * f)] = (\Delta g) * f = LoG * f$

## Expression du l'opérateur LoG

- $\frac{\partial g(x,y)}{\partial x} = \frac{x}{2\pi\sigma^4} \exp\left(-\frac{x^2+y^2}{2\sigma^2}\right)$
- $\frac{\partial^2 g(x,y)}{\partial x^2} = \frac{1}{2\pi\sigma^4} \left(1 - \frac{x^2}{\sigma^2}\right) \exp\left(-\frac{x^2+y^2}{2\sigma^2}\right)$
- $\frac{\partial g(x,y)}{\partial y} = \frac{y}{2\pi\sigma^4} \exp\left(-\frac{x^2+y^2}{2\sigma^2}\right)$
- $\frac{\partial^2 g(x,y)}{\partial y^2} = \frac{1}{2\pi\sigma^4} \left(1 - \frac{y^2}{\sigma^2}\right) \exp\left(-\frac{x^2+y^2}{2\sigma^2}\right)$

- D'où:

$$LoG(x, y) = \Delta g(x, y) = \frac{1}{2\pi\sigma^4} \left(1 - \frac{x^2+y^2}{\sigma^2}\right) \exp\left(-\frac{x^2+y^2}{2\sigma^2}\right)$$

# Approximation de LoG par différence de gaussiennes (DoG)

Le filtre LoG peut être approché par la différence de deux gaussiennes d'écart-types proches :



$$LoG(x, y) = DoG(x, y, \sigma_1, \sigma_2) = g(x, y, \sigma_1) - g(x, y, \sigma_2) \quad (8)$$

Avec  $\sigma_1 = \sigma_2 + \epsilon$



## Localiser les contours aux passages par 0 de $LoG$

### Algorithme

- Convolution de l'image avec  $LoG$  (approché par un masque de taille  $n \times m$ );
- Autre possibilité: utiliser  $DoG(x, y, \sigma_1, \sigma_2)$  (avantage : filtres gaussiens séparables);
- Détection des passages par 0 de l'image résultante (éventuellement :) seuillage des passages par 0.

# Détection de contours par l'opérateur LoG

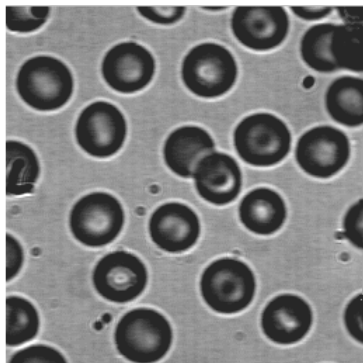


Image Originale

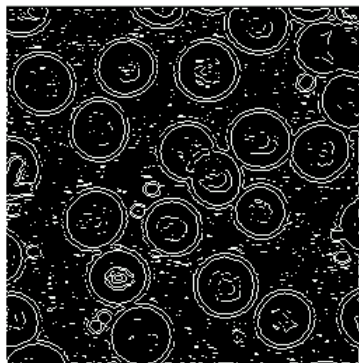


Image des contours  
(opérateur LoG avec  $\sigma=1$ )

Figure : *Détection de contours par l'opérateur LoG*

# Détection de contours par l'opérateur LoG

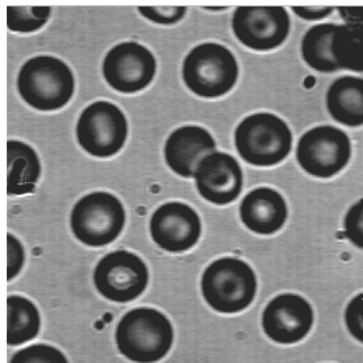


Image originale

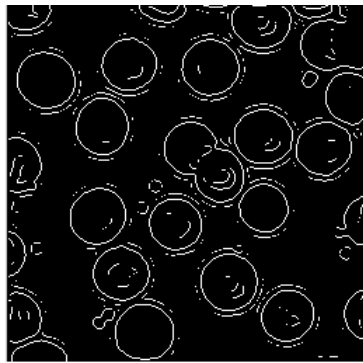


Image des contours  
(opérateur LoG avec  $\sigma=2$ )

*Figure : Détection de contours par l'opérateur LoG*

## Avantages:

- Proche du système visuel humain
- La détection des passages par 0 fournit des réseaux de lignes fermées
- Prise en compte des seuls passages par 0 significatifs.

## Inconvénients:

- Grande sensibilité au bruit (nécessite un lissage fort, affecte la localisation )
- Pas d'info sur l'orientation du contour
- Le seuillage des passages par 0 crée des lacunes ( ouvertures ) dans les contours.

**Limites:** Pour  $\sigma$  élevé, localisation médiocre et points d'intérêt saillants perdus .

## 5. Conclusion

- Pas d'opérateur parfait pour détecter les contours
- On obtient en pratique des contours incomplets (ouverts)
  - Détection incorrecte : pixels superflus, pixels manquants
  - Localisation incorrecte : erreurs dans la position des points contours, l'orientation
- La détection des points contours n'est que la première étape dans la chaîne de segmentation.



[Khalid HOUSNI]

Cours de traitement d'image

<https://docplayer.fr/48500117Coursdetraitementd'imageprkhalidhousnidepartementinformatiquefacultedes scienceskenitra.html>



[N. Thome, D. Brziat, S. Dubuisson], (2016)

Bases du traitement des images: Détection de contours

<http://webia.lip6.fr/~thomen/Teaching/BIMA/cours/contours.pdf>



[Olivier Losson]

Cours:TI Traitement d'Images Semaine 9 : Détection de contours (1)

<http://master-ivi.univ-lille1.fr/fichiers/Cours/ti-semaine-09-contours1.pdf>



[Olivier Losson]

Cours:TI Traitement d'Images Semaine 10 : Détection de contours (2)

<http://master-ivi.univ-lille1.fr/fichiers/Cours/ti-semaine-10-contours2.pdf>